

05.4

© 1990

ВЛИЯНИЕ НЕЙТРОННОГО ОБЛУЧЕНИЯ
НА СВЕРХПРОВОДЯЩИЕ ПЛЕНКИ $Y_1Ba_2Cu_3O_{7-\delta}$

А.З. Абасова, А.Д. Бритов,
С.Н. Максимовский, Н.А. Сулейманов,
Н.Б. Каган, В.И. Стafeев,
В.Т. Хряпов

Проведено исследование влияния быстрых нейтронов с энергией более 0,1 МэВ в интервале флюенсов 10^{11} – 10^{14} нейтр./см² на физические свойства высокотемпературных пленок на основе $Y_1Ba_2Cu_3O_{7-\delta}$.

В [1, 2] было исследовано влияние нейтронного облучения на T_c (критическая температура), второе критическое поле H_{c2} для керамических образцов.

В настоящей работе приводятся результаты исследований влияния быстрых нейтронов на параметры T_c , T_h (температура начала сверхпроводящего перехода) и R_n (нормальное сопротивление) сверхпроводящих пленок на основе $Y_1Ba_2Cu_3O_{7-\delta}$ с различными размерами кристаллитов. Проведен отжиг облученных образцов в интервале температур 900–950 °C.

Методика эксперимента

Высокотемпературные сверхпроводящие слои $Y_1Ba_2Cu_3O_{7-\delta}$ ¹ были изготовлены путем биндерной технологии. В качестве источника $Y_1Ba_2Cu_3O_{7-\delta}$ служил ультрадисперсный порошок сложных окислов на основе Y , Ba , Cu , полученных путем термического разложения их оксалатов в низкотемпературной плазме, и мишень, пористость которой не превышала 20%. Для связки применялись ацетон и олифа. В качестве подложек служили полированные пластины монокристаллов ZrO_2 с ориентацией (100). Рост пленок проходил в условиях мощного светового облучения [3]. Предлагаемая технология позволила в течение нескольких секунд синтезировать и варировать размер кристаллитов и снизить время контакта между пленкой и подложкой.

Исследовались пленки $Y_1Ba_2Cu_3O_{7-\delta}$ различной T_c (К); 92 (а), 88 (с), 85 (в). Размеры кристаллитов в этих пленках в зависимости от технологических операций были различными. Толщина пленок была ~5 мкм.

¹

Биндерной технологией сверхпроводящие пленки впервые были получены Н.Е. Алексеевским.

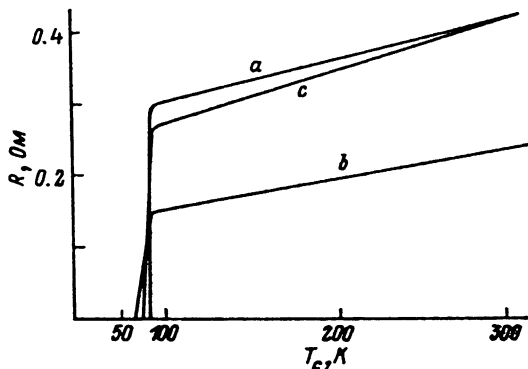


Рис. 1. Температурная зависимость сопротивления сверхпроводящих пленок на основе $Y_1Ba_2Cu_3O_{7-\delta}$: а - $T_c=92$ К, б - $T_c=85$ К, в - $T_c=88$ К до облучения.

Реальная структура поверхности и фазовый состав изучались на дифрактометре и на сканирующем электронном микроскопе. Параметр T_c определялся измерением электросопротивления пленок обычным четырехконтактным методом, облучение проводилось на импульсном ядерном реакторе при комнатной температуре.

Результаты эксперимента и их обсуждение

Результаты исследования температурных зависимостей сопротивления для полученных исходных пленок $Y_1Ba_2Cu_3O_{7-\delta}$ приведены на рис. 1. Как следует из этого рисунка, температурный ход сопротивления имеет металлический характер для всех исследованных образцов. Различия между пленками (а), (в), (с) по параметрам T_c , ΔT_c объясняются как неоднородностью образцов, так и наличием в них различного содержания кислорода [4].

На рис. 2 приведены зависимости параметров T_c и T_h от флюенса быстрых нейтронов для различных пленок. Параметры T_c и T_h пленок (а), состоящих из крупных кристаллитов, практически не меняются до флюенса $2.3 \cdot 10^{14}$ нейтр./ cm^2 . Для пленок (в) и (с), состоящих из мелких кристаллитов, после облучения наблюдается уменьшение параметра T_c с ростом флюенса нейтронов.

С увеличением флюенса от $4.2 \cdot 10^{11}$ до $1.4 \cdot 10^{12}$ нейтр./ cm^2 T_c для пленок (в) и (с) уменьшается с одинаковой скоростью. При дальнейшем увеличении флюенса нейтронов до $7 \cdot 10^{12}$ нейтр./ cm^2 T_c для пленки (с) уменьшается, а для пленки (в) не меняется. Параметр T_h (95 К) для этих трех видов пленок не меняется до флюенса $1.15 \cdot 10^{13}$ нейтр./ cm^2 . Далее наблюдается уменьшение T_h для пленок (в, с) с ростом флюенса до $2.3 \cdot 10^{14}$ нейтр./ cm^2 (рис. 2).

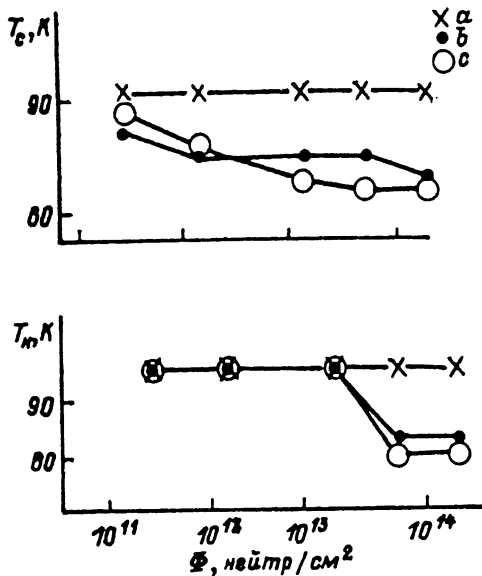


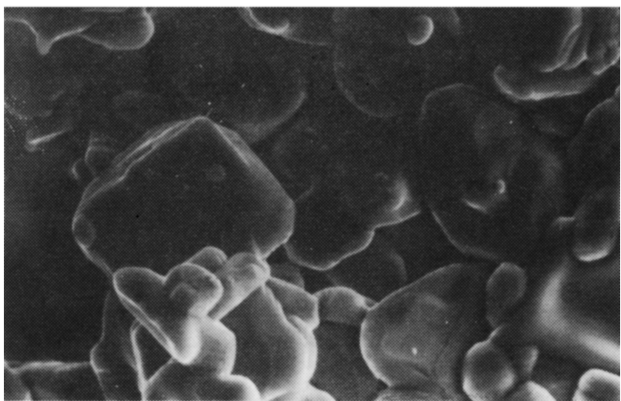
Рис. 2. Зависимость параметров T_c и T_H от флюенса быстрых нейтронов.

На рис. 3 приведены электронномикроскопические снимки реальной поверхности вышеуказанных пленок, облученных флюенсом $2.3 \cdot 10^{14}$ нейтр./ см^2 . Деформация перехода в пленках, состоящих из мелких кристаллитов (в, с), сильнее, чем в пленках, состоящих из крупных кристаллитов (а). Наблюдаемые различные изменения в облученных пленках (а, в, с) связаны с структурным совершенством.

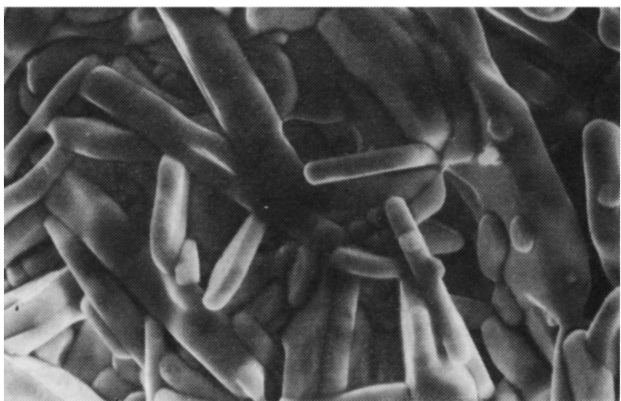
Таким образом, полученные результаты исследований позволили установить дозовые области влияния нейтронов на свойства сверхпроводящих пленок на основе $Y_1Ba_2Cu_3O_{7-\delta}$: а) область радиационной устойчивости, в которой параметры практически не меняются; б) область, в которой в результате облучения параметры ухудшаются, т.е. уменьшение параметров T_c и T_H для различных пленок.

Отжиг, проведенный для облученных образцов (10^{14} нейтр./ см^2), показал, что параметры T_c , T_H восстанавливаются при $T_{\text{отк}} = 900 - 940$ °С до исходных значений.

Рис. 3. Электронная микрофотография реальной поверхности различных пленок $Y_1Ba_2Cu_3O_{7-\delta}$ (а, в, с) после облучения нейтронами флюенсом 10^{14} нейтр./ см^2 .



a



b



c

Список литературы

- [1] Воронин В.И., Давыдов С.А., Карькин А.Е. и др. // Письма в ЖЭТФ. 1987. Т. 46 (Приложение).
- [2] Алексеенко Б.В., Букалов А.В., Галушка В.П. и др. Тез. докл. 11-й Всес. конф. по высокотемпературной сверхпроводимости. Киев, 1989. Т. 111. 245 с.
- [3] Александров О.В., Казаков И.П., Киселева К.В., Максимовский С.Н., Шотов А.П. Тез. докл. 7-й Всес. конф. по росту кристаллов. М., 1988. Т. 11. С. 380-381.
- [4] Cava R.J., Bottlogg B., Sunshine S.A. et al. // Physica C. 1988. P. 153-155; P. 560-565.

Поступило в Редакцию
3 июля 1990 г.

Письма в ЖТФ, том 16, вып. 18 26 сентября 1990 г.
07; 12

© 1990

ЯВЛЕНИЕ ФОРМИРОВАНИЯ ГИЛЬБЕРТ-ОБРАЗА ПУЧКА ИЗЛУЧЕНИЯ В ИЗОБРАЖЕНИЯХ ФРЕНЕЛЯ ПЕРИОДИЧЕСКОГО ТРАНСПАРАНТА

Э.Н. Балашова, М.В. Неофитный,
В.А. Свич

Известны дифракционные элементы для выполнения преобразования Гильберта в зоне Фраунгофера [1-2]. Однако задача безлинзового формирования Гильберт-образа (ГО) в зоне дифракции Френеля оставалась нерешенной вплоть до появления работ [3, 4], в которых описан эффект отображения ГО в изображениях Френеля фазового транспаранта, состоящего из двух участков с различными значениями отношения поперечных размеров канавок к периоду их расположения. Указанный эффект позволяет упростить существующие схемы теневых приборов [1, 5] благодаря совмещению в одном дифракционном элементе функций фильтра Гильберта и фокусирующего устройства. Недостатком существующих дифракционных элементов, выполняющих преобразование Гильберта в зонах Френеля и Фраунгофера, является значительная зависимость качества формируемого изображения от смещения центра транспаранта относительно оси пучка. Указанное смещение приводит к появлению фона, интенсивность которого пропорциональна квадрату смещения.